

仙台港における既存資料および現地観測からの副振動解析

沼田 淳*・阿部至雄**・高橋敏彦***・相原昭洋****

1. はじめに

塩釜港・仙台港区は、宮城県仙台市より東方へ約10kmの所に位置しており、東北地方の流通拠点港湾として益々重要な役割を担いつつあるが、反面、船舶の安全性と港湾の稼働率向上のため、港内の振動特性を把握しておくことが必要であると考えられる。

そこで本研究では、まず同港区における最近6年間(1974年～1979年)の検潮記録より副振動の波高・周期を読みとり、異常な副振動が発生するときの気象・海象条件について検討を加えた。つぎに、台風7920号を例にとり台風通過時の湾水振動特性の経時変化について考察し、最後に、港内3地点の同時観測記録と一数值計算結果を比較検討することにより、仙台港の副振動現象の実態を把握することを目的とした。

2. 検潮記録に現われた異常な副振動

塩釜港仙台港区では、昭和46年頃から中央航路入口の船だまり奥部(図-1参照)にフース型検潮器を設置し、潮位観測を実施しているが、最近6年間(1974年～1979年)の潮位記録から、毎偶数時の前後1時間内における副振動の最大波高およびその周期を読みとり¹⁾、その中から最大波高が45cm以上になった場合を異常な副振動と定義し、検討の対象と考えた。

表-1は、異常な副振動が観測されたときの副振動の

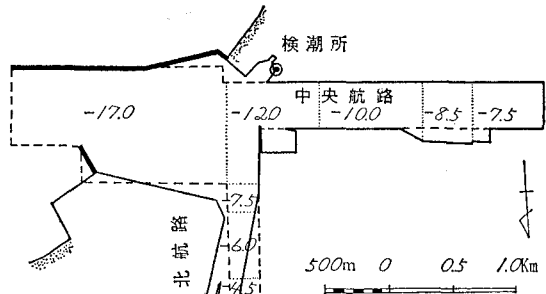


図-1 仙台港平面図

最大波高と周期およびその期間中の気圧、風速、有義波高のピーク値と発生時刻を一覧にしたものである。摘要

表-1 仙台港の異常副振動一覧

発生年月日時	副振動		最低気圧(mb)	最大風速(m/s)	風向(16方位)	MAX H _{1/3} (m)	継続時間(hr)	摘要要	
	波高(cm)	周期(min)							
1974.8.16.4	48	22	b ₁₃ 1 005	b ₁₄ 7.4	ENE	b ₈ 2.7	22	三陸沖に低気圧、日本列島と平行に寒流前線、小笠原諸島付近に台風14号	
1974.11.18.10	52	50	a ₅ 988	a ₈ 9.2	W	a ₂ 3.8	10	二つ玉低気圧急北上し発達	
1975.7.4.16	51	51	b ₁ 997	b ₄ 3.1	N	a ₄ 1.4	—	前線を伴う低気圧、日本の南岸沿いから陸城部を北上	
1975.9.8.4	45	18	a ₁₄ 995*	a ₃₀ 13.1	NW	b ₁₈ 3.2	22	台風8号小笠原諸島付近に停滯後太平洋上北上	
1975.11.23.18	56	37	1 001*	b ₁₄ 9.7	NW	1.8	18	三陸沖の低気圧北進台風20号太平洋上北上	
1975.12.22.6	54	25	a ₆ 994	a ₁₂ 2.8	W	0.8	10	二つ玉低気圧発達東進	
1976.10.9.8	53	26	a ₁₀ 1 013*	a ₁₂ 11.3	ENE	a ₁₂ 1.1	4	オホーツク海と四国沖に低気圧	
1977.2.10.16	48	27	a ₂ 1 004*	b ₇ 2.8*	N*	a ₂ 1.1	6	二つ玉低気圧北東進	
1979.11.29.12	48	27	b ₆ 1 001*	a ₂₂ 7.7	NNW	欠	2	二つ玉低気圧北上、前後に30cm以上の副振動	

b, a: 副振動の最大波高発生時刻の前、後を表わし、添字はその発生時刻からの時間を表す。 欠: 次測

*: 仙台管区気象台観測、その他は運輸省塩釜工事事務所観測

継続時間: 波高30cm以上の副振動が継続した時間を示す。

の欄には、異常副振動の発生要因と思われる台風または、低気圧の気象概要を併記した。前述した定義による異常副振動の発生回数は、最近6年間9でケースであった。年別発生回数では、1975年の4回が最も多く、つぎに1974年の2回である。他は1回または0回となっ

* 正会員 工博 東北工業大学教授 工学部土木工学科

** 正会員 工博 東北工業大学助教授 工学部土木工学科

*** 正会員 東北工業大学助手 工学部土木工学科

**** 正会員 東北工業大学 工学部土木工学科

ている。季節別では、台風来襲時期の秋頃が最も多くなっている。

図-2は資料解析期間中、最大波高（波高 56 cm、周期 37 分）を記録した1975年11月23日の副振動の波高・周期と気圧、風向、風速および沖波有義波高的経時変化の様子を比較したものであり、図-3は、その期間中および前後の台風・低気圧の3時間ごとの移動経路と、副振動がピーク値を示した18時の地上天気図とを重ねて示したものである。このときの沖波の有義波高は2m以下でそれほど高くはないが、周期14~15秒程度のうねり性の波が観測されており、また、波高30cm以上の副振動が18時間と比較的長い時間継続している。これは図-3にみられるように、房総半島沖で停滞していた低気圧と、低気圧と入れ代わりのように北上して来た台風7520号の複合影響ではないかと考えられる。

図-4は、波高30cm以上の副振動の継続時間が最長（22時間）を記録した1974年8月16日（最大波高

48cm、周期22分）の気象・海象条件の時系列的な変化の様子を示したものであり、図-5は、その前後における台風・低気圧の移動経路と副振動がピーク値を示した4時近くの地上天気図を重ねて示したものである。この場合は、小笠原諸島付近に停滞していた台風7414号と北海道東方海上の低気圧が関与していると思われるが、いずれの影響が卓越しているかは分らない。同じく継続時間22時間を記録した1975年9月8日（最大波高45cm、周期18分）の場合も、小笠原諸島東海上で3日程度停滞していた台風7508号が関与したと考えられる。

異常副振動の中で、継続時間が最も長いこれら3ケースは、いずれの場合も台風が関与しており台風が小笠原諸島付近に停滞しているか、その付近をゆっくり北上している場合に比較的波高が大きく、継続時間の長い副振動を発生させているように思われる。

二つ玉低気圧が北上または東進した1974年11月、1975年12月、1977年2月、1979年11月にも最大波高

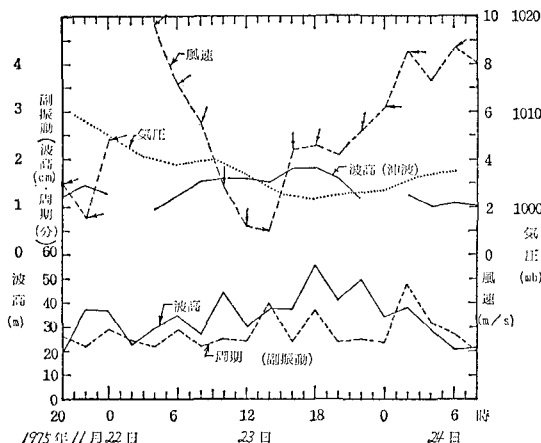


図-2 副振動と気象・海象条件

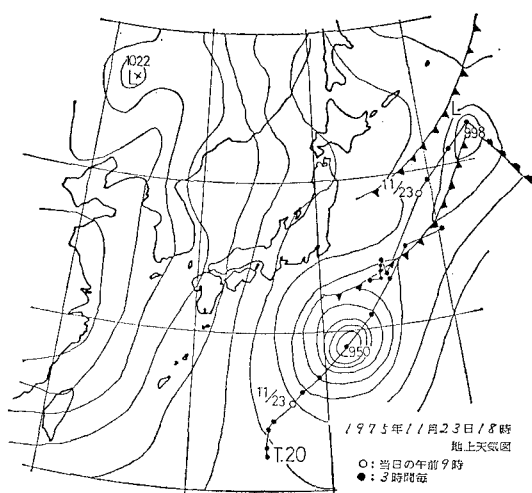


図-3 台風・低気圧の移動経路および地上天気図

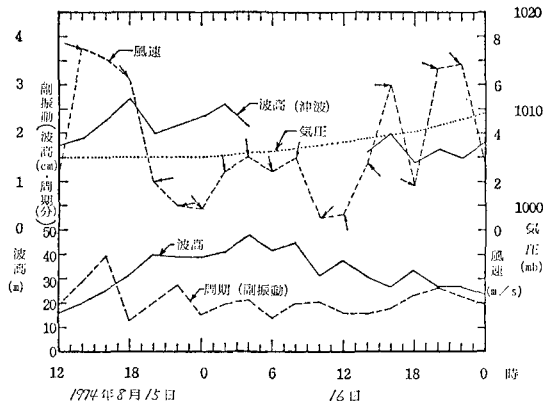


図-4 副振動と気象・海象条件

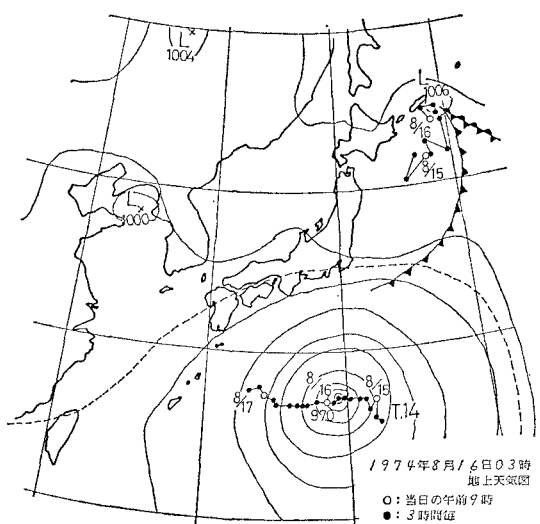


図-5 台風・低気圧の移動経路および地上天気図

50 cm 前後の副振動が発生し、波高 30 cm 以上の副振動が 2~10 時間程度継続している。

図-3 のように副振動の発生要因が北上しつつある台風または、低気圧に起因すると考えられる場合には、図-2 にみられるように副振動の波高と気圧および沖波波高とはかなり良い相関を示すが、図-5 のように停滞中の台風・低気圧が発生要因と考えられるケースでは、ほとんど相関性は認められない。また、表-1 より副振動の最大波高と現地の最大風速との間には、ほとんど相関は認められず、また、最低気圧値との間にもそれ程の相関性は認められないようである。これは、台風または低気圧等の気象擾乱に伴って外洋に発生した長周期波が湾内に入り、湾水振動を引き起こしていることを示唆していると思われる。

つぎに、異常な副振動が発生した時の低気圧・台風の移動経路を 5 つのタイプ(表-2)に分類し、タイプ別の発生割合を示したのが 図-6 である。ただし、1974 年 8 月と 1975 年 9 月は C 型と E 型に重複して分類した。発生回数の最も多いのは D 型で 37%，続いて C 型、E

型の 27%，B 型の 9% となっている。発生回数の最も多い D 型は、二つ玉低気圧のうち太平洋側を進む低気圧が、関東沖から三陸沖で著しく発達する²⁾場合の気象擾乱により、比較的波高の大きい副振動が発生すると考えられる。次に多い C 型は、低気圧・台風が太平洋上を北上し三陸沖付近に位置した場合の気象擾乱や、それ以前の長周期波の影響を受けるため D 型と同様比較的波高の大きい、継続時間の長い副振動が発生すると考えられる。また E 型は、気象擾乱で発生した長周期波が、エッジ波として伝わり湾内の振動を引き起こしているものと考えられる³⁾。

3. 台風 7920 号通過時の海水振動

1979 年 10 月 19 日から 20 日にかけて日本を縦断した台風 7920 号は、塩釜港および松島海岸に高潮による浸水被害をもたらした。このときの仙台港の検潮記録をスペクトル解析することによって、台風通過前後の湾水振動特性について考察した。まず、データに含まれる潮汐成分を算術移動平均によって求め、それからの偏差値を海水振動成分として定常⁴⁾、非定常⁵⁾スペクトルを推定した。

解析期間は 10 月 17 日 12 時~20 日 24 時の 4.5 日間で、データ読み取り間隔 90 sec、読み取り総数 4 289 個である。なお、定常(MEM 法)スペクトル解析に用いたフィルター項数は 50, 60 である。

図-7 は、台風通過前(17 日 12 時~18 日 24 時)、台風通過中(19 日 0 時~20 日 12 時)、台風通過後(20 日 12 時~21 日 24 時)の MEM スペクトルを解析周期帯域 350~7 分として計算したもので、縦軸は周波数スペクトル $S(f)$ の最大を 100、最小を 1 として示してある。

台風通過に伴う湾水振動には、周期 47~54 分と周期 20~28 分の 2 つの振動系が存在している。後者は、仙

表-2 台風・低気圧の移動経路別分類

タイプ別	摘要
A 型	日本海を北上または停滞
B 型	東北地方陸域部を縦断または横断
C 型	太平洋上を北上
D 型	二つ玉低気圧
E 型	北海道中央以北または小笠原諸島以南に停滞

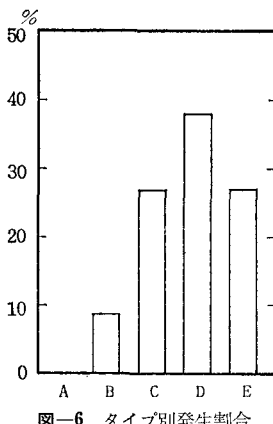


図-6 タイプ別発生割合

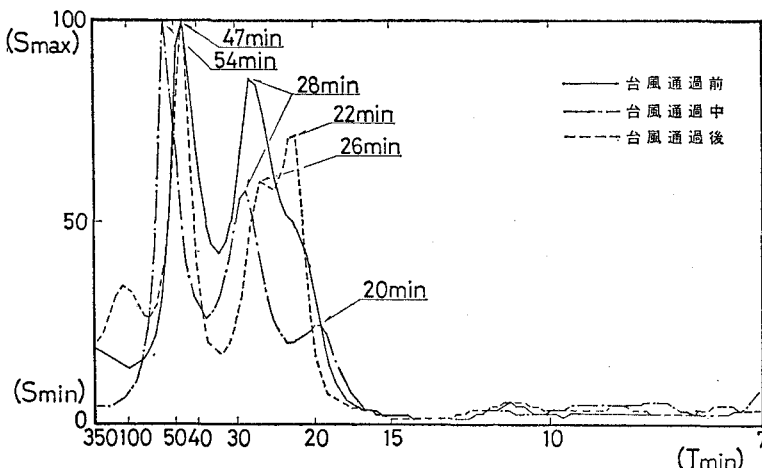


図-7 台風 7920 号通過時の MEM スペクトル

台港における基本モードの固有振動周期に対応するものと思われ、表-1に示した異常な副振動発生時の最大波高の周期とほぼ一致している。前者は、エッジ波に対応する振動系ではないかと思われるが明らかでない。長周期側の卓越周期は、台風の接近に伴い47分から54分へと長周期側へ移動し、台風通過後には接近前の状態に戻っている。また、短周期側の卓越周期は台風通過前、通過中は28分であるが、台風通過後には22分と短周期側に移動している。

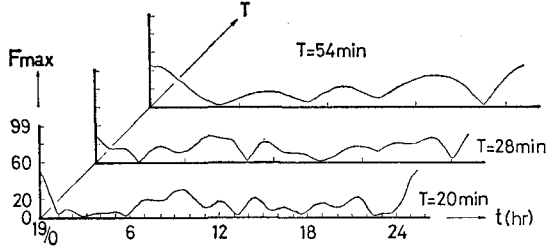


図-8 卓越周期に対するスペクトルの経時変化

図-8は、周期帯域1分～89分までを2分ごとに求めた周期別エネルギー分布 $F(f, t)$ の値を、MEMスペクトルで得られた台風通過中の卓越周期別に図示したものである。解析期間は、台風通過中の19日0時から20日2時までとした。周期54分のスペクトルの強さは、台風が同港に最も接近したと思われる17時頃その強さを増し、約2時間後の19時頃ピークに達しその高まりは他の卓越周期よりも大きい。周期28分でも同様な傾向を示すが、そのピークは23時頃である。周期20分では、接近前の9時頃ピークとなり以後減衰する傾向を示している。

4. 数値計算結果と同時観測値の比較

(1) 数値計算

仙台港の形状を図-1の破線で示したような長方形港湾で近似し、東西方向を x 軸、南北方向を y 軸にとり、港内に83点の格子点を設置した。これら各格子点における波高分布関数 $f(x, y)$ に関する偏微分方程式

$$\frac{\partial^2 f}{\partial x^2} + \frac{\partial^2 f}{\partial y^2} + k^2 f = 0 \quad \dots \dots \dots (1)$$

ただし、 $k = 2\pi/L$ である。(1)式を式(2)に示すような差分形に改め⁶⁾、各格子点における波高を未知数とする83次の連立一次方程式を導き、行列式の固有値、固有ベクトルを求ることにより、仙台港の固有振動周期と各格子点の波高分布を求めた。

$$\left(a_i + b_i + c_j + d_j - \frac{a_i^2}{g} \right) \cdot f_{ij} - a_i \cdot f_{i+1,j} - b_i \cdot f_{i-1,j}$$

$$- c_j \cdot f_{i,j+1} - d_j \cdot f_{i,j-1} = 0 \quad \dots \dots \dots (2)$$

ただし、 $a_i = 2h_{ij}/(4x_i \cdot (4x_i + 4x_{i-1}))$

$$b_i = 2h_{ij}/(4x_{i-1} \cdot (4x_i + 4x_{i-1}))$$

$$c_i = 2h_{ij}/(4y_j \cdot (4y_j + 4y_{j-1}))$$

$$d_j = 2h_{ij}/(4y_{j-1} \cdot (4y_j + 4y_{j-1}))$$

基本モード、第2次モードおよび第3次モードに対応する固有振動周期はそれぞれ約24.7分、12.8分および7.5分となった。なお、図-9、10はそれぞれ基本モードおよび第2次モードの波高分布を、湾奥の波高を1として等波高比線で表わしたものである。

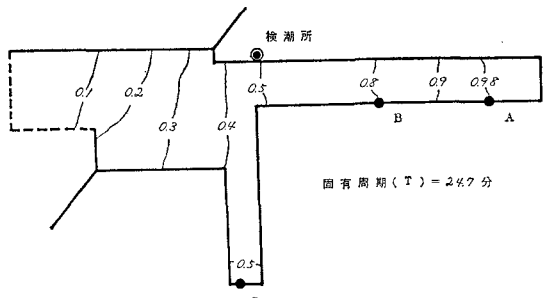


図-9 基本モードに対する波高分布図

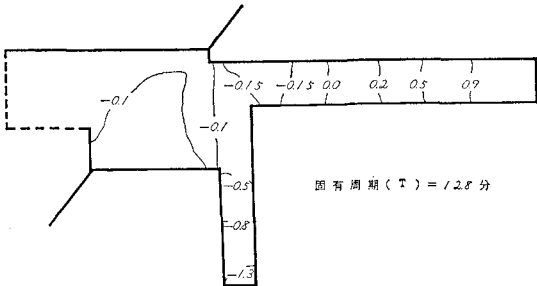


図-10 第2次モードに対する波高分布図

(2) 同時観測値との比較

図-9に●印で示したA、B、C3地点で、圧力変換器を用いて平常時2～3時間程度づつ水位変動の同時観測を行った。表-3、4は、それぞれ昭和54年および昭和55年の観測結果を一覧にしたものである。表中の周期は、A点における水位変動をスペクトル解析（読み取り間隔45秒、データ数約200、解析周期帯域350～

表-3 昭和54年副振動観測結果

観測日	周期(min)	A点(cm)	B点(cm)	検潮所(cm)
9月22日	23.0	12.0	15.0	7.0
		12.0	9.8	6.1
10月26日	22.6	8.0	7.0	5.0
		8.0	6.5	4.1
11月9日	24.1	12.0	11.0	11.0
		12.0	9.8	6.1
観測日	周期(min)	A点(cm)	C点(cm)	検潮所(cm)
11月28日	21.2	10.0	3.0	5.0
		10.0	5.1	5.1
11月30日	22.2	12.0	5.0	7.0
		12.0	6.1	6.1

表-4 昭和 55 年副振動観測結果

観測日	周期(min)	A点(cm)	B点(cm)	検潮所(cm)
9月24日	20.6	10.0	10.0	8.0
		10.0	8.2	5.1
10月1日	23.3	11.0	11.0	7.0
		11.0	9.0	5.6
10月29日	25.9	5.0	7.0	5.0
		5.0	4.1	2.6
11月5日	23.3	3.0	3.0	3.0
		3.0	2.4	1.5
11月26日	25.0	5.0	5.0	4.0
		5.0	4.1	2.6
観測日	周期(min)	A点(cm)	C点(cm)	検潮所(cm)
12月3日	23.3	9.0	9.0	8.0
		9.0	4.6	4.6
12月5日	25.0	7.0	5.0	5.0
		7.0	3.6	3.6
12月10日	25.9	8.0	6.0	5.0
		8.0	4.1	4.1
12月11日	24.1	7.0	5.0	6.0
		7.0	3.6	3.6
12月12日	23.3	14.0	7.0	9.0
		14.0	7.1	7.1

7 分) して求めた卓越周期(スペクトル波形は、ほとんど単峰性を示し、2次以下の振動はみられなかった。)であり、上段の数字は当日観測された数波の副振動の平均波高、下段の数字は数値計算で求めた基本モードに対する各観測点の波高比から、A点の観測波高を用いて他の観測地点の波高を推定したものである。観測波の卓越周期は 21~26 分で、数値計算による基本モードの固有振動周期 24.7 分とほぼ一致している。また、各観測点の波高も数値計算で求めた基本モードに対する波高分布とほぼ同じような傾向を示すが、B点、C点、検潮所の波高は計算値より幾分高くなることが多いように思われる。

5. 結論

仙台港の潮位記録および現地観測をもとに、同港の副

振動の実態について考察してきたが、主要な結果をまとめると以下のとおりである。

- 異常副振動の発生回数は、最近 6 年間で 10 ケース弱であり、最大波高は 56 cm 程度である。
- 異常副振動発生時の台風・低気圧の移動経路が、C型、D型の場合には、副振動の波高と気象・海象条件の経時変化の相関性はよくなるが、E型のような場合は、両者の相関性はほとんど認められなかつた。
- 台風通過前、通過中、通過後で MEM スペクトルの形状に若干の差異はあるが、主振動 47~54 分と同港の固有振動周期に近い 22~28 分の振動系が観測された。また、台風通過中のスペクトルの経時変化をみると、台風の通過に伴って周期の長い順に海水振動が励起される傾向が認められた。

4) 平常時の現地観測から求めた卓越周期は、21~26 分のものがほとんどであり、数値計算によって得られた基本モードの固有周期とほぼ一致した。

5) 同時観測における波高比は、計算結果と同様な傾向を示すが、各地点の波高比にはかなりのバラツキがある。

本研究を進めるにあたり、資料の整理、現地観測等で元本学学生諸氏の協力を得た。また、仙台管区気象台、運輸省塩釜港工事事務所より資料を提供していただきいた。ここに記して感謝の意を表します。尚、計算には東北工業大学計算センター TOSBAC-3400 を使用したこととを付記する。

参考文献

- 沼田 淳・高橋敏彦：塩釜港仙台港における副振動の現状とその発生要因、第 33 回年講概要集、II-358, pp. 692~693, 1978.
- 大谷東平・斎藤将一共著：天気予報と天気図、法政大学出版局、205 p., 1976.
- 林 直樹・高橋秀彰・山本政光：外海における長周期波の観測、第 25 回海講論文集、pp. 14~17, 1978.
- 岩崎敏夫・阿部至雄・相原昭洋：1979 年宮城県沖地震津波による海水振動特性、第 26 回海講論文集、pp. 143~147, 1979.
- 神山 真：フィルター理論による強振地動の解析、昭和 48 年度東北支部技術研究発表会、pp. 18~20, 1974.
- 堀川清司・西村仁嗣：枝分れのある湾の振動特性について、第 14 回海講論文集、pp. 98~103, 1967.